

# Учебни приложения за уравнението на топлопроводността.

Да разгледаме процесът на разпространение на топлина по тънък хомогенен прът. Ще предполагаме, че няма топлообмен през околната повърхнина на пръта и в точките от произволно взето сечение температурата е постоянна. Нека прътът е разположен по оста  $Ox$  и  $u(x, t)$  е температурата на сечението през точка  $x$  в момент  $t$ . Разпространението на топлина става от областите с по-висока температура към тези с по-ниска температура и съгласно допускането може да става само по направление на оста на пръта. Затова можем да си мислим че прътът е безкрайно тънък, а  $x$  е координатата на точка от него. Законът, който описва изменението на температурата във времето се дава с уравнението

$$u_t = a^2 u_{xx}, \quad (1)$$

което се нарича уравнение на топлопроводността. Положителната константа  $a$  наричаме коефициент на топлопроводност.

## 1 Учебно приложение ”Задача на Коши за уравнението на топлопроводността”.

Нека разглеждаме прът, който е много дълъг и можем да пренебрегнем топлообмена през краищата му. Така стигаме до следната задача на Коши

$$\begin{cases} u_t(x, t) = a^2 u_{xx}(x, t) & \text{в } G := \{(x, t) : x \in \mathbf{R}, 0 < t < T\}, \\ u|_{t=0} = \varphi(x), & x \in \mathbf{R}, \end{cases} \quad (2)$$

където температурата  $\varphi(x)$  е непрекъснатата и ограничена функция. Решение се дава в явен вид с интеграла на Поасон

$$u(x, t) = \frac{1}{2a\sqrt{\pi t}} \int_{-\infty}^{+\infty} e^{-\frac{(x-\xi)^2}{4a^2 t}} \varphi(\xi) d\xi. \quad (3)$$

Една смяна на интеграционната променлива  $\xi = x + 2a\sqrt{t}\eta$  ни позволява да запишем решението в следния вид

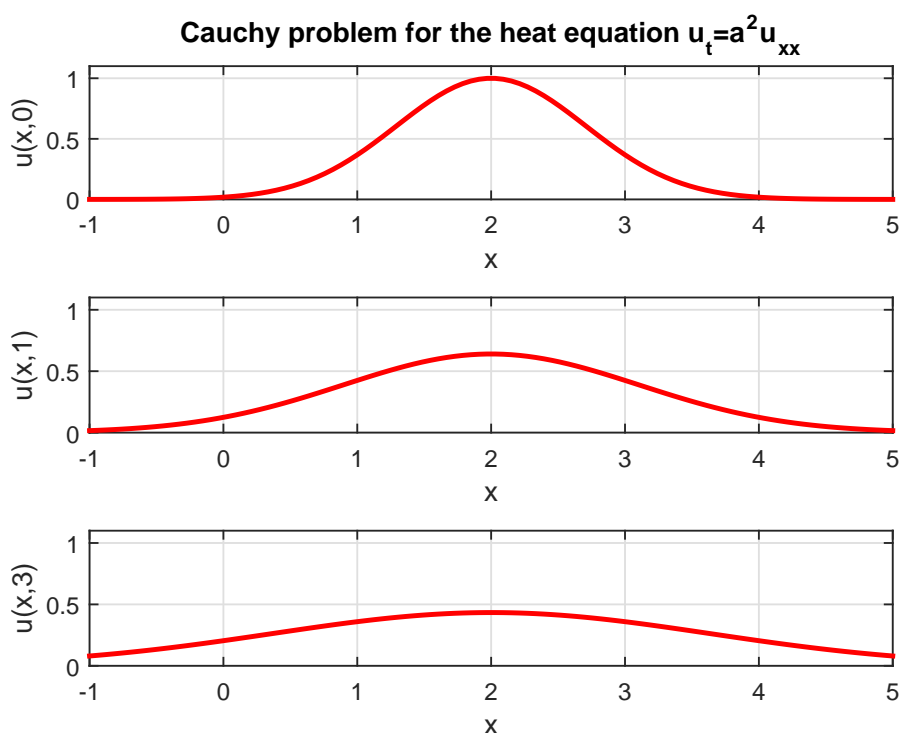
$$u(x, t) = \frac{1}{\sqrt{\pi}} \int_{-\infty}^{+\infty} e^{-\eta^2} \varphi(x + 2a\sqrt{t}\eta) d\eta, \quad (4)$$

който е по-удобен за изчисления.

В това учебно приложение ще направим анимация на изменението на температурата в частта  $L := \{-2 \leq x \leq 5\}$  от пръта за време  $t \in [0, 3]$  при коефициент на топлопроводност  $a = 0.6$  и начално разпределение на топлината в пръта

$$\varphi(x) := e^{-(x-2)^2}.$$

Кодът на приложението се намира във файла **HeatCauchy.m**, а три момента от направената анимация са представени в следната фигура.



Чрез редактиране на кода могат да бъдат направени анимации на изменението на температурата в друга или същата част на пръта при желаните от потребителя стойности на коефициента на топлопроводност и началното разпределение на температурата в пръта.

## 2 Учебно приложение ”Метод на Фурие. Прът с фиксирана температура в левия край и топлоизолиран десен край”.

Изменението във времето на температурата в точките от пръта се моделира със следната смесена задача

$$\begin{cases} u_t = a^2 u_{xx}, & 0 < x < L, t > 0, \\ u|_{t=0} = \varphi(x), & 0 \leq x \leq L, \\ u|_{x=0} = 0, \quad u_x|_{x=L} = 0, & t \geq 0, \end{cases} \quad (5)$$

където  $\varphi(x) \in C^2[0, L]$  и са изпълнени условията за съгласуване  $\varphi(0) = \varphi''(0) = 0$ ,  $\varphi'(L) = 0$ .

Търсим решение по метода на Фурие във вида

$$u(x, t) = \sum_{k=0}^{\infty} X_k(x) T_k(t). \quad (6)$$

За всяка от функциите  $X_k(x)$  получаваме следната задача на Штурм-Лиувил

$$\begin{cases} X''(x) + \lambda X(x) = 0, & 0 < x < L, \\ X(0) = 0, \quad X'(L) = 0, \end{cases}$$

която има собствени стойности  $\lambda_k = \left(\frac{(2k+1)\pi}{2L}\right)^2$  и собствени функции

$$X_k(x) := \sin\left(\frac{(2k+1)\pi}{2L}x\right), \quad k \in \mathbf{N} \cup \{0\}.$$

За всяка от функциите  $T_k(t)$  получаваме линейно уравнение от първи ред

$$T'_k(t) + \lambda_k a^2 T_k(t) = 0.$$

което е и с разделящи се променливи

То има общо решение

$$T_k(t) := A_k e^{-\lambda_k a^2 t} = A_k e^{-\left(\frac{(2k+1)\pi}{2L}a\right)^2 t},$$

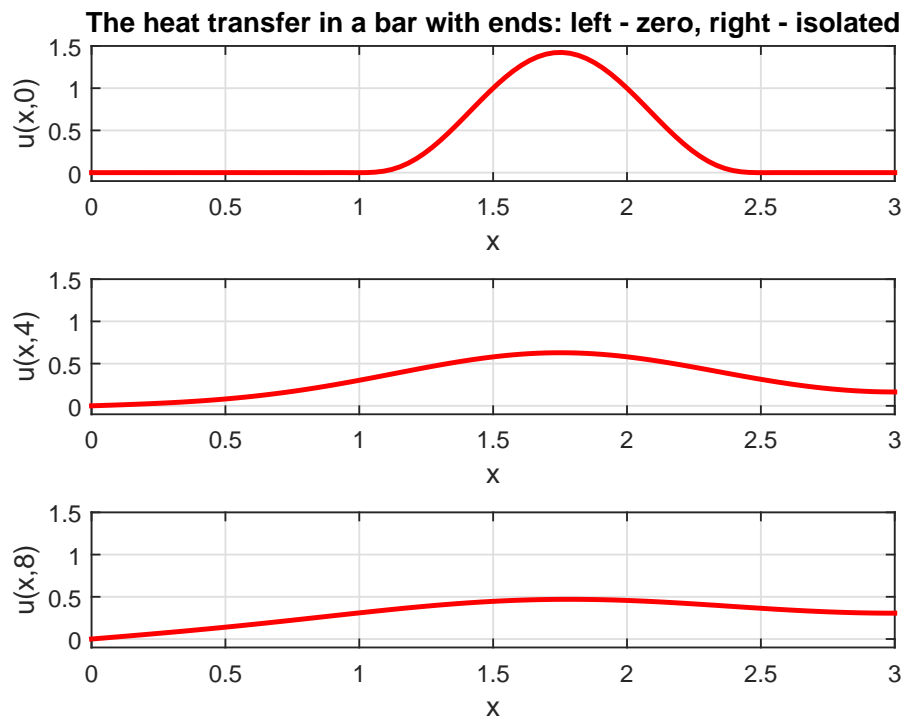
където  $A_k$  са произволни реални константи. От началното условие в изходната задача получаваме, че

$$A_k = \frac{2}{L} \int_0^L \varphi(x) X_k(x) dx.$$

Ще направим анимация на изменението на температурата за време  $t \in [0, 8]$  в прът с дължина  $L = 3$ , коефициент на топлопроводност  $a = 0.2$  и начално разпределение на топлината

$$\varphi(x) := \begin{cases} -(2x^2 - 7x + 5)^3, & 1 \leq x \leq 5/2, \\ 0, & x \in \mathbf{R} \setminus [1, 5/2], \end{cases}$$

като използваме 30-та частична сума в реда на Фурие. Кодът на това приложение се намира във файла **HeatFourier1.m**. На следващата фигура е показано разпределението на температурата в пръта в три момента от анимацията. Чрез редактиране на кода могат да бъдат напра-



вени анимации на изменението на температурата в пръта при избрани от потребителя стойности на коефициента на топлопроводност и началното разпределение на температурата в пръта. Може да се експериментира като се избира различна частична сума от реда на Фурие. Аналогично се процедира, когато левия край на пръта е топлоизолиран, а в десния се поддържа постоянна температура нула.

### 3 Учебно приложение ”Метод на Фурие. Прът с топлоизолирани краища”.

Изменението във времето на температурата в точките от пръта се моделира със следната смесена задача

$$\begin{cases} u_t = a^2 u_{xx}, & 0 < x < L, t > 0, \\ u|_{t=0} = \varphi(x), & 0 \leq x \leq L, \\ u_x|_{x=0} = 0, u_x|_{x=L} = 0, & t \geq 0, \end{cases} \quad (7)$$

където  $\varphi(x) \in C^2[0, L]$  и са изпълнени условията за съгласуване  $\varphi'(0) = 0$ ,  $\varphi'(L) = 0$ .

Търсим решение по метода на Фурие във вида

$$u(x, t) = \sum_{k=0}^{\infty} X_k(x) T_k(t). \quad (8)$$

За всяка от функциите  $X_k(x)$  получаваме следната задача на Штурм-Лиувил

$$\begin{cases} X''(x) + \lambda X(x) = 0, & 0 < x < L, \\ X'(0) = 0, X'(L) = 0, \end{cases}$$

която има собствени стойности  $\lambda_k = \left(\frac{k\pi}{L}\right)^2$  и собствени функции

$$X_k(x) := \cos\left(\frac{k\pi}{L}x\right), \quad k \in \mathbf{N} \cup \{0\}.$$

За всяка от функциите  $T_k(t)$  получаваме линейно уравнение от първи ред

$$T'_k(t) + \lambda_k a^2 T_k(t) = 0,$$

което е и с разделящи се променливи. То има общо решение

$$\begin{aligned} T_0(t) &= A_0, \\ T_k(t) &:= A_k e^{-\lambda_k a^2 t} = A_k e^{-\left(\frac{ak\pi}{L}\right)^2 t}, \quad k \in \mathbf{N}, \end{aligned}$$

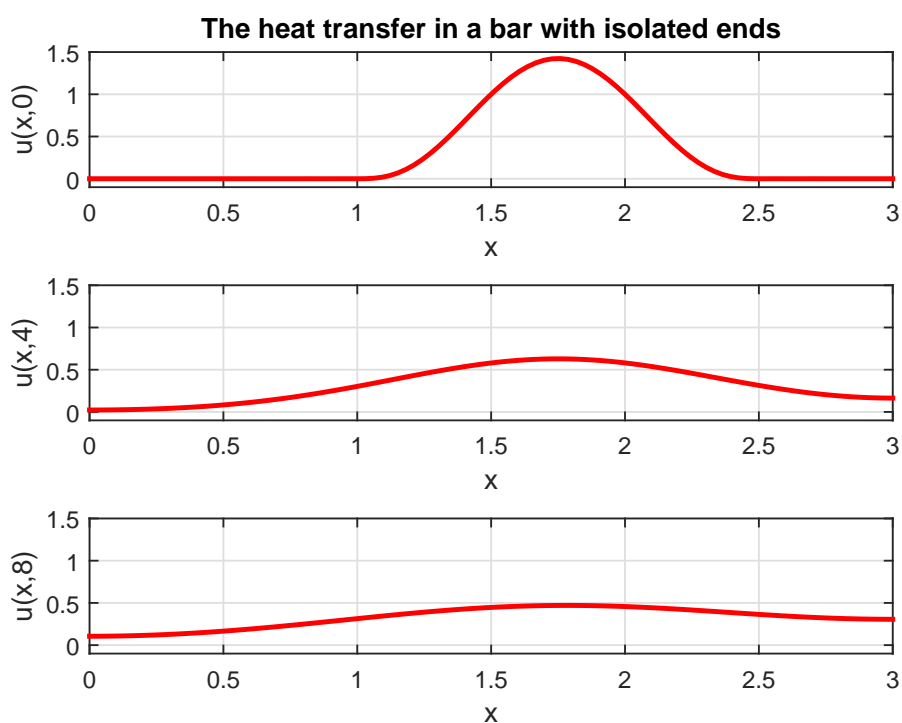
където  $A_k$  са произволни реални константи. От началното условие в изходната задача получаваме, че

$$A_0 = \frac{1}{L} \int_0^L \varphi(x) dx, \quad A_k = \frac{2}{L} \int_0^L \varphi(x) X_k(x) dx, \quad k \in \mathbf{N}.$$

Ще направим анимация на изменението на температурата за време  $t \in [0, 8]$  в прът с дължина  $L = 3$ , коефициент на топлопроводност  $a = 0.2$  и начално разпределение на топлината

$$\varphi(x) := \begin{cases} -(2x^2 - 7x + 5)^3, & 1 \leq x \leq 5/2, \\ 0, & x \in \mathbf{R} \setminus [1, 5/2], \end{cases}$$

като използваме 40-та частична сума в реда на Фурие. Кодът на това приложение се намира във файла **HeatFourier2.m**. На следващата фигура е показано разпределението на температурата в пръта в три момента от анимацията. Чрез редактиране на кода могат да бъдат направени



анимации на изменението на температурата в а пръта при желаните от потребителя стойности на коефициента на топлопроводност и началното разпределение на температурата в пръта. Може да се експериментира като се избира различна частична сума от реда на Фурие. Аналогично се процедира, когато когато в двата края на пръта се поддържа постоянна температура нула.

## 4 Учебно приложение ”Метод на Фурие. Прът с фиксирана температура в краищата”.

Разглеждаме тънък хомогенен прът с дължина  $L$ , околната повърхнина на който е топлоизолирана. Ще предполагаме, че на краищата се поддържа постоянна температура  $u|_{x=0} = u|_{x=L} = c_2$ , а началната температура е  $u|_{t=0} = c_0$ , където  $c_0, c_1, c_2$  са константи. Така достигахме до следната смесена задача

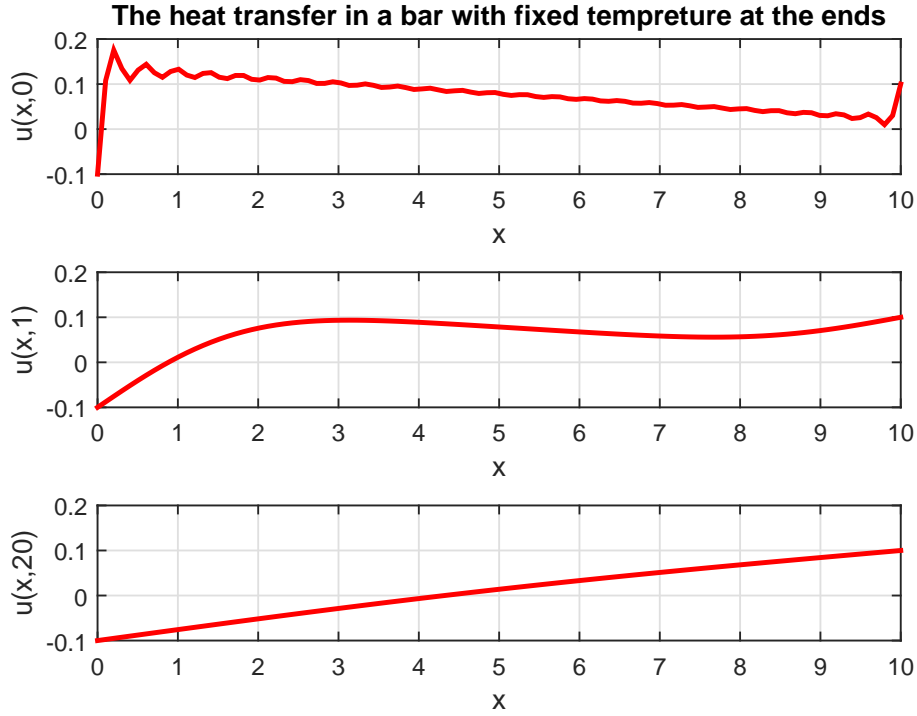
$$\begin{cases} u_t = u_{xx}, & 0 < x < L, t > 0, \\ u|_{t=0} = c_0, & 0 \leq x \leq L, \\ u|_{x=0} = c_1, u|_{x=L} = c_2, & t \geq 0, \end{cases} \quad (9)$$

С метода на Фурие можем намерим разпределението на топлината в пръта в различни моменти (проверете!)

$$u(x, t) = c_1 + \frac{c_2 - c_1}{L}x + \sum_{k=1}^{\infty} \frac{1}{k} [c_0 - c_1 + (-1)^k (c_2 - c_0)] e^{-\frac{k^2 \pi^2}{L^2} t} \sin\left(\frac{k\pi}{L}x\right)$$

Ще направим анимация на изменението на температурата за време  $t \in [0, 20]$  в прът с дължина  $L = 10$  и  $c_0 = 0,05$ ,  $c_1 = -0.1$ ,  $c_2 = 0.1$  като използваме 50-та частична сума в реда на Фурие. Кодът на това приложение се намира във файла **HeatFourier3.m**. Чрез редактиране на кода могат да бъдат направени анимации на изменението на температурата в пръта при други стойности на началната температура в пръта и температурата в неговите краища. Може да се експериментира като се избира различна частична сума от реда на Фурие.

На следващата фигура е показано разпределението на температурата в пръта в три момента от анимацията чрез файла **HeatFourier3.m**.



## 5 Учебно приложение ”Диференчна схема за уравнението на топлопроводността ”

В това учебно приложение ще визуализираме изменението на температурата в прът с дължина  $L$  за период от време  $[0, T]$ , когато прътът е подложен на температурен режим  $f(x, t)$ , а краищата му температурата се изменя по определени закони. Математическият модел на изменението на температурата в прътът се дава със следната смесена задача:

$$\begin{cases} u_t - u_{xx} = f(x, t), & (x, t) \in \Omega := \{0 < x < L, 0 < t < T\}, \\ u|_{t=0} = \varphi(x), & 0 < x < L, \\ u|_{x=0} = \mu(t), \quad u|_{x=L} = \nu(t), & 0 < t < T, \end{cases} \quad (10)$$

където  $\varphi(x) \in C^2[0, L]$ ,  $\mu, \nu \in C^2[0, T]$ ,  $f(x, t) \in C^2(\bar{\Omega})$  и са изпълнени условията за съгласуване

$$\begin{aligned} \mu(0) &= \varphi(0), \quad \mu'(0) = \varphi''(0) + f(0, 0), \\ \nu(0) &= \varphi(L), \quad \nu'(0) = \varphi''(L) + f(L, 0). \end{aligned}$$



В областта  $\Omega$  ще въведем мрежа  $\omega = \omega_h \times \omega_\tau$  със стъпки  $h$  и  $\tau$ , където

$$\begin{aligned}\omega_h &= \{x_i = ih, h = \frac{L}{n}, i = 1, 2, \dots, n, n \geq 2, n \in \mathbf{N}\}, \\ \omega_\tau &= \{t_j = j\tau, \tau = \frac{T}{m}, j = 1, 2, \dots, m, m \geq 2, m \in \mathbf{N}\}.\end{aligned}$$

Точките  $(x_i, t_j)$  се наричат възли на мрежата, а при фиксирано  $j$  точките  $(x_i, t_j), i = 1, 2, \dots, n$  образуват  $j$ -тия слой на мрежата.

Нека за по-кратко означим

$$\begin{aligned}u_{i,j} &= u(x_i, t_j), f_{i,j} = f(x_i, t_j), \\ \varphi_i &= \varphi(x_i), \psi_i = \psi(x_i), \mu_j = \mu(t_j), \nu_j = \nu(t_j).\end{aligned}$$

Ще намерим приближено (с определена грешка) стойностите на решението  $u(x, t)$  във възлите на въведената мрежа, като апроксимираме производните с подходящи диференчни частни. За целта ще използваме формулата на Тейлър

$$u(x + h, t) = u(x, t) + u_x(x, t) \cdot h + O(h^2)$$

и

$$u(x, t + \tau) = u(x, t) + u_t(x, t) \cdot \tau + O(\tau^2)$$

за да получим

$$u_x(x_i, t_j) = \frac{u_{i+1,j} - u_{i,j}}{h} + O(h), u_x(x_i, t_j) = \frac{u_{i,j} - u_{i-1,j}}{h} + O(h)$$

и

$$u_t(x_i, t_j) = \frac{u_{i,j+1} - u_{i,j}}{\tau} + O(\tau).$$

По аналогичен начин за втората производна по  $x$  получаваме

$$u_{xx}(x_i, t_j) = \frac{u_{i+1,j} - 2u_{i,j} + u_{i-1,j}}{h^2} + O(h^2).$$

По този начин за апроксимиране на уравнението на топлопроводността във вътрешните възли на мрежата получаваме диференчните уравнения

$$\frac{u_{i,j+1} - u_{i,j}}{\tau} - \frac{u_{i+1,j} - 2u_{i,j} + u_{i-1,j}}{h^2} = f_{i,j}, \quad (11)$$

където  $i = 2, 3, \dots, n-1, j = 2, 3, \dots, m-1$ .

От началното условие получаваме

$$u_{i,1} = \varphi_i, i = 1, 2, \dots, n. \quad (12)$$

Граничните условия ни дават

$$u_{1,j} = \mu_j, \quad u_{n,j} = \nu_j, \quad j = 2, 3, \dots, m. \quad (13)$$

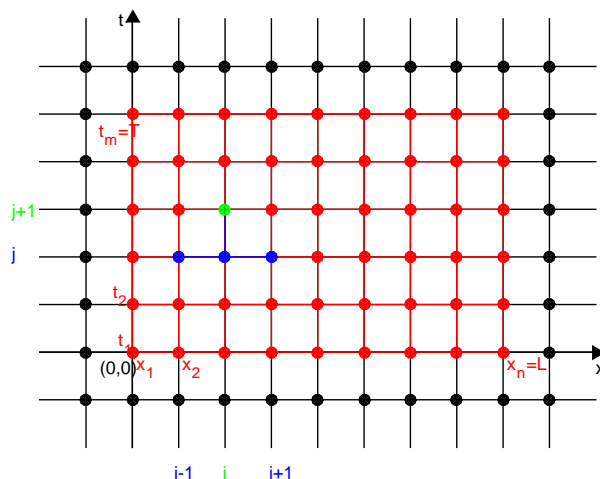
От равенството (11) можем да изразим  $u_{i,j+1}$  и да получим

$$u_{i,j+1} = (1 - 2c)u_{i,j} + c(u_{i+1,j} + u_{i-1,j}) + \tau f_{i,j},$$

$$i = 2, 3, \dots, n-1, \quad j = 2, 3, \dots, m-1,$$

където  $c = \frac{\tau}{h^2}$ .

Вижда се, че стойностите на  $u$  в  $j + 1$ -тия слой се определят чрез стойностите му в предния  $j$ -ти слой. Така знаейки стойностите в един слой можем да намерим стойностите в следващия слой.



Така получихме следната явна диференчна схема:

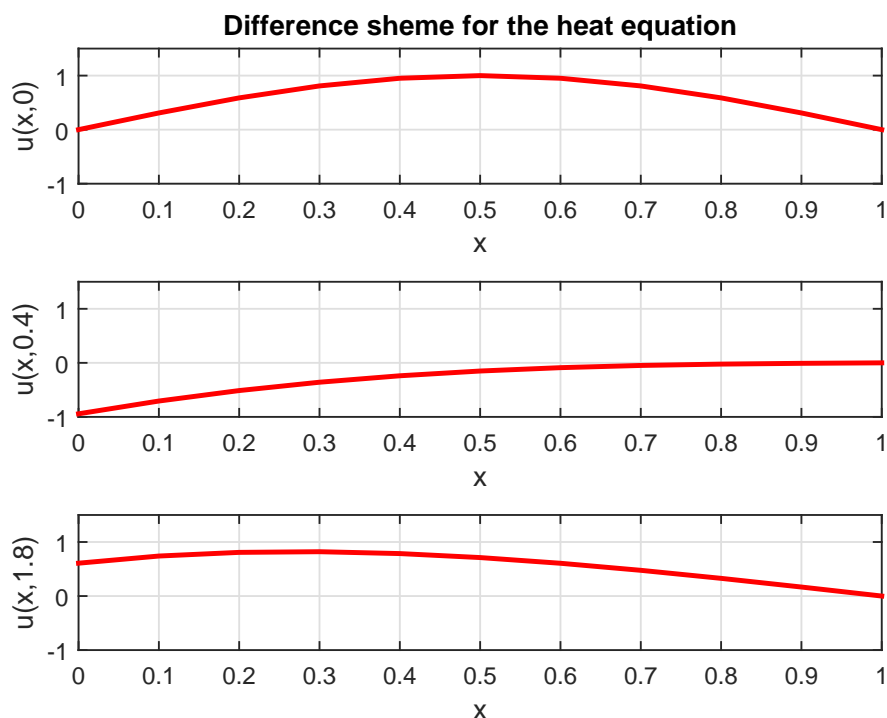
$$\begin{aligned} u_{i,1} &= \varphi_i, \quad i = 1, 2, \dots, n, \\ u_{1,j} &= \mu_j, \quad u_{n,j} = \nu_j, \quad j = 2, 3, \dots, m, \\ u_{i,j+1} &= (1 - 2c)u_{i,j} + c(u_{i+1,j} + u_{i-1,j}) + \tau f_{i,j}, \\ i &= 2, 3, \dots, n-1, \quad j = 2, 3, \dots, m-1. \end{aligned} \tag{14}$$

Получената схема е с грешка на апроксимации  $O(\tau + h^2)$ . Може да се покаже, че необходимо и достатъчно условие за устойчивостта на схемата (т. е. грешката да не се натрупва, а да намалява, когато пресмятаме всеки следващ слой) е

$$\frac{\tau}{\hbar^2} \leq \frac{1}{2}. \quad (15)$$

Ще разгледаме изменението на температурата в пръта за време  $t \in [0, T]$ ,  $T = 2$  при  $L = 1$ ,  $\varphi(x) = \sin(\pi x)$ ,  $\mu(t) = \sin(\pi t)$ ,  $\nu(t) = 0$ ,  $f(x, t) = (1 - x)(\pi + t)$ . Нека стъпката по  $x$  е  $h = L/10$ , а стъпката по  $t$  е  $\tau = T/500$ . Понеже  $a = 1$ , то  $c = \frac{2a^2\tau}{h^2} = \frac{4}{5} < 1$  и условието (15) е изпълнено.

Кодът на това приложение се намира във файла **HeatDS.m**. На следващата фигура е показано разпределението на температурата в пръта в три момента от анимацията. Чрез редактиране на кода могат да бъ-



дат направени анимации на изменението на температурата в пръта при различни стойности на началната температура на пръта, поддържаните температури в неговите краища и температурния режим, на който е подложен.